

水晶發振子의 不要振動과 其 抑壓

禹 鱗 鈜*

1. 諸 言

水晶振動子의 設計製作技術에서 重要한 問題의 하나는 不要振動의 象見과 抑壓일 것이다.

이 問題에 關해서는 오래동안 많은 研究者에 依해서 廣範圍하게 實驗研究된 바 있다. 即 1944年 Bell電話研究所의 R. A. Sykes의 Predimensioning法 以來 今日에 이르기 까지 20年 以上을 繼續해서 여러 研究 및 生產機關에서 重要한 研究課題로서 探擇되어 왔었다.

이러한 研究를 大分할때 振動片의 最適次元의 決定과 電極形成法의 두가지로 分類할 수 있다. 前者는 最近에 와서는 Shape와 Contour 技術에 까지 發展하였고 後者는 Mass Loading概念을 發展시켜 分割電極方式, 超短波帶 및 Filter用共振子의 飛躍的發展의 발판이 되었다.

不要振動 (Unwanted Modes)은 A. Meissner에 依해서 1929年 X板의 共振特性을 測定하다가 主振動을 干涉한 副振動의 檢出에서 처음 觀察된 것이다. 低周波帶인 伸縮 및 面剪斷振動에서의 不要振動은 比較的 正確히 分析되고 있다. 이러한 周波數帶에서의 主振動과 不要振動과의 相互干渉은 振動片의 次元調整으로 容易하게 避할 수 있다. 그러나 短波 및 超短波帶 即 두께剪斷振動인 境遇 附着電極 및 振動片의 周邊에서 彈性波의 及射로 因해서 不要振動이 發生하여 解釋에 大端히 困難한 여러 不確定因子를 內包하게 된다.

本論文에서는 AT生을 利用한 FT-243型 및 HC-6/U型振動子를 主對象으로 하여 不要振動의 簡單한 理論的分析과 이의 抑壓에 關해서 綜合的으로 檢討하고자 한다.

2. 振動姿態間의 結合

AT板의 主振動 即 要求되고 있는 振動姿態는 두께剪斷振動이다.

그리나 이 主振動에 追加해서 面剪斷, 屈曲, 伸縮等의 副振動이 電壓電氣의 으로 또는 主振動과의 彈性的結合으로 誘起되기 쉽다. AT板은 AC板과 截斷의 가까우나 X次元을 基底로 한 屈曲, 伸縮 및 面剪斷等의 輪廓振動과의結合을 避하지 못한다. 通常 이와 같은 副振動을 綜括하여 所要의 主振動과 區別하기 为해서 不要振動 (Unwanted

Modes)이라고 呼稱하고 있다.

低周波帶인 E.F板 等에서는 主振動과 副振動은 近接 안하고 있으나 AT板, BT板에서는 大端히 近接하고 있으며 副振動의 基本振動周波數는 主振動에 比해서 낮은 故로 그의 高調波가 必然의 으로 問題視된다.

振動體에서 周波數定數(振動周波數와 振動周波數決定次元과의 乘積)는 主振動이 副振動과의 干涉結合이 없는 完全單一純粹振動下에서만 正確한 恒數를 갖게 된다. Duplex + 5° 板(J板)과 같이 大端히 작은 t/l比를 갖는 長邊 두께剪曲振動의 基本振動은 理想에 近似한 振動條件을 갖고 있는 代表의 振動片이다. 그러나 通常 有限輪廓次元을 갖는 振動片에서는前述한 理想의 條件을 期待하지 못하며 大部分의 振動片에서는 周波數決定次元 (t)이 殘餘次元 (輪廓 W 또는 V)에 比해서 充分히 크지 못한 까닭이다 即一般的으로 彈性振動體에서 彈性波의 進行方向의 振動體次元에 對해서 殘餘의 次元이 가까워지면 副次振動의 高調波次數는 낮아지며 따라서 主振動에 關與한 副振動의 影響이 強하게 될 傾向을 갖고 있다. $\phi\alpha/t$ 比가 적은 AT板에서 兩主面에 高周波電壓을 加加하면 두께 方向의 電界方向에 依해서 振動片內部에는 여러 應力과 歪가 發生한다. 이때 $\phi\alpha$ 에 따라서 決定될 電極面積 ϕe 는 無限平面이 못하며 電極面積에 比較해서 電極間隙(振動片의 두께에 近似함)이 큰 까닭에 平等電界를 形成하지 못하고 同時に 水晶은 非等方性結晶體인 故로 振動體內에 歪가 發生하면 偏極을 誘起하여 이로 因해서 電壓電氣의 으로는 不適當한 振動姿態가 彈性結合의 으로 發生할 수 있게 된다. 이러한 振動姿態間의 干涉結合은 振動體의 相互彈性係數에 左右되며 其一部는 振動片의 截斷角(AC板, BC板)을 適當히 調整하여 없앨 수 있다.

不要振動은 主振動에 比해서 通常 40dB以下로 抑壓하는 것이 現在 널리 要求되고 있는 條件이다. 이러한 條件을 充足시키기 为해서 現在 探擇되고 있는 方法은 振動片의 Contouring, Bevelling 및 Dimensioning을 綜括한 Shape 및 Contour이며 또 하나는 電極摸의 直徑(ϕe) 및 두께 即 Mass Loading에 依한 두가지로 分類할 수 있다.

* 不要振動의 測定法은 Mil-3098D에 依하면 아래와 같이 規定하고 있다.

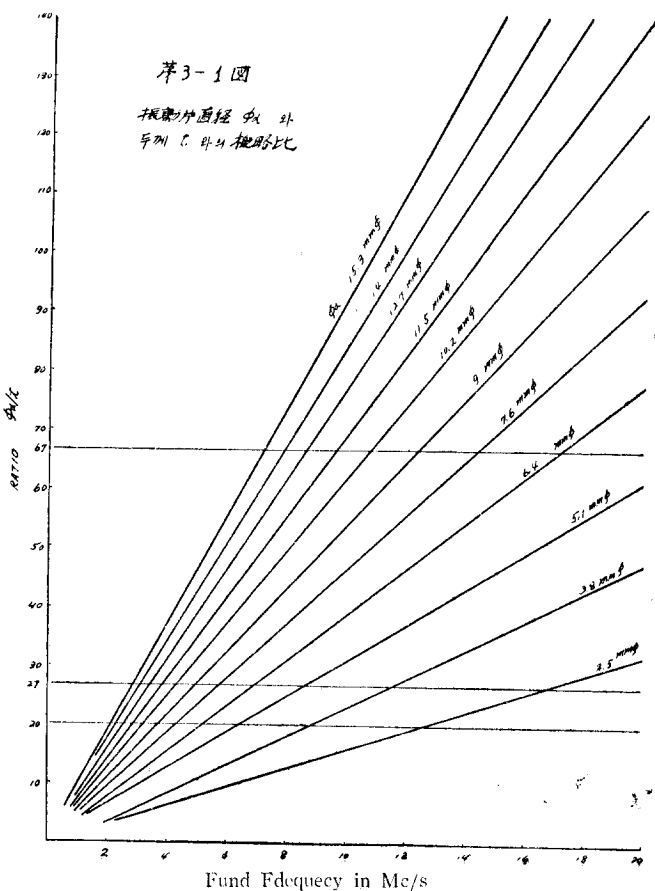
- 1) 環境溫度는 恒溫型일 때 規定된 恒溫槽溫度에서 그리고 非恒溫槽型일 때는 室內溫度에서

- 2) 劘振度는 規定值 (2.5~5mw)에 調整하고
 - 3) 許容最大等價抵抗值을 規格에 依해서 決定하여 이
等價抵抗은 試驗用發振器에 試驗하고자 할 振動子
에 代置해서 掃入하고 同調回路를 上下로 變化시켜
서 公稱周波數의 20%가 될 同調點을 각各 記錄하고
 - 4) 等價抵抗을 振動子로서 代置하여 +20% 同調點에
서 徐徐히 同調回路를 -20%點까지 變化시킨다.
 - 5) 이 同調回路 變化過程을 通해서 Activity Dips, 不
要振動等의 有無를 檢查한다.

3. Contouring Bevelling 및 Predimensioning

3—1. Contouring & Bevelling

두께剪斷振動이 AT板에서 不要振動이 主振動에 미칠影響은 $\phi\alpha/t$ 가 60以下일 때 主로 振動片自體의 Shape 및 Contour에 左右된다. HC-6/U나 FT-243/U保持器에서 收容할 수 있는 水晶振動片의 크기에 制限이 있을 境遇 (HC-6/U는 最大 15mm ϕ , FT-243은 15mm×13mm) 振動周波數가 낮아짐에 따라서 $\phi\alpha/t$ 比는 critical Value 以下로 低下된다(第3-1圖 參照). 이와 같이 不可避하게 $\phi\alpha/t$ 比가 작



아야 할 때 振動片保持時의 振動勢力의 損失을 減少시키고
同時에 不要振動을 抑壓하기 為한方法의 하나로서 後述할
Predeimnssioning法에 比較해서 훨씬 幾廣範圍하게 使用되고
있는 것이 Contouring이다.

Contouring은 1960年以後 美國에서 開發된 技術로서 振動勢力を 可能한 振動片의 中心部에 集中하도록 하여 周邊部에 가까워짐에 따라서 弱하게 하여 振動片의 輪廓次元의 크기와 形狀에 依해서 決定될 不要振動과의 干涉이나 結合을 避하게 하고 또한 周邊部에서의 保架로 因한 Q의 低下를 防止시킬 수 있다. 따라서 振動片의 Contour 設計이란 特定周波數에 適合한 主面의 曲面率과 振動片直徑의 組合을 決定하는데 있다. 適切히 設計製作된 Contour 振動片은 低等價抵抗, 低保架抵抗과 所要의 温度範圍에 걸쳐서 Activity Dips 即 等價抵抗의 急激한 增加와 周波數의 跳躍現象이 없는 것을 말한다.

振動片面은 斷面積의 幾何學的 形狀에 따라서 便宜上 두 가지로 分類하고 있다. 兩主面을 任意의 設計目的으로서 非平行으로 하거나 周邊을 斜面狀으로 加工한 一切의 形狀의 振動片面을 Contoured 振動片面이라고 하여 (平面研磨機에서 研磨中 不可避하게 發生할) 振動片面의 中高形態는 Cont-

oured이라고 할 수 없음), 그리고兩主面이完全平行이고周邊이直角을維持한것을Uncontoured振動片이라한다. Contoured中廣範圍하게利用되고있는것은Plaon-Convex, Double-Convex그리고Bevelled이며第1表에서이리한振動片의諸元을集錄하였다. Uncontoured振動片의最低許容 $\phi\alpha/t$ 比는所要되는品質,溫度範圍,保架方法,不要振動과의結合度에對한現格等을綜合적으로檢討하여決定하게된다. CR-18/U振動子에서Uncontoured振動片의最低許容値로서67를많은生產業者들이採擇하고있다. Plano-Convex은工作管理가比較的容易하며研磨工程에서不可避하게發生되는主面과原子格子面과의偏位를자게할수있다. 通常 $\phi\alpha/t$ 比가25以上일때利用된다.

Double Convex은 工作管理가 前者에 比
해서 困難한 點이 있고 設計 截斷角의 偏位
를 이려기기 쉽다. AT 板의 研磨는 圓形
加工과 같이 不要振動의 抑壓方法으로서
널리 利用되고 있으며 500KC~2,000KC 帶
에서는 比較的 큰 曲率半徑을 갖인 Convex
形이 된다.

$\phi\alpha/t$ 가 25 以下일 때 不要振動의 抑壓手段으로서 有効한 Bevel은 振動片의 周邊形

狀을 調整하여 副振動인 輪廓振動群과의 結合을 避한다. Bevel은 研磨工程等에서 發生하기 쉬운 周邊의 Chips를 未然에 防止할 수 있는 效果도 있다.

Bevelling에 關한 一般的인 規準值는 없으며 實地工作工程에서 經驗을 基礎로 한 錯誤試行法이 主로 使用되고 있

때 直線의 것과 어떤 溫度에서 急變하는 두種類가 있다. 大部分의 不要振動의 溫度句配特性은 後者에 屬한다. 따라서 動作中 周圍溫度가 變化할 때 어떤 溫度에서 主振動인 두께剪斷振動의 振動周波數는 壓電氣의 結合姿態인 面剪斷振動 또는 機械的結合姿態인 屈曲振動等의 高調波振

形狀	表面		底面		名稱	符號
	中央	周邊	中央	周邊		
	平面	平面	平面	平面	UNCONTOURED, PARALLEL	PP
	平面	球面	平面	平面	PLANO-BEVEL	P _s P
	平面	球面	平面	球面	DOUBLE-BEVEL	P _s P _s
	球面	球面	平面	平面	PLANO- CONVEX	SP
	球面	球面	球面	球面	DOUBLE- CONVEX	SS

第 1 表 Countour 振動片의 名稱

다. Bevelled 角度는 振動片의 두께에 따라서 變化하며 通常 $10\sim15$ 度가 適量이며 Bevel量 (第 3~2圖에서 $\frac{1}{2}L_2$) 은 $\frac{1}{6}L_0$ 을 最大로 한다. Double Bevel 加工時 問題가 되는 것은 兩主面에 發生할 Plateau Diameter L_1 의 中心이 振動片主面 L_0 의 中心에서 偏心을 引起하게 될 可能성이 많다. 그 最大許容值로서는 $\frac{1}{10}L_0$ (圓形振動片일 時遇에는 L_0 代身에 直徑 D를 代置하면 된다)를 定하고 있다.

3-2. Predimensioning

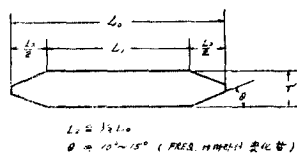
水晶振動子의 振動은 外部에서 電界印加에 依한 壓電氣効果로서 또는 機械的彈性結合에 依해서 發生시킬 수 있다. 이 時遇彈性結合은 壓電氣의 으로 励振된 主振動 또는 다른 副振動과의 機械的勵振에 依한 것이다. 두께剪斷振動인 AT板인 時遇 振動片의 두께次元方向으로 電界印加를 받고 壓電氣의 으로 振動하고 있을 때 原則의 으로는 이 電界條件은 屈曲振動과 같은 副振動을 壓電氣의 으로直接 励振시키지 못하나 主振動인 두께剪斷振動에서 相互彈性係數에 依해서 機械의 으로 励振받을 수 있다. 이와 같이 機械의 으로 励振된 振動姿態를 “結合姿態”이라고 한다.

AT板에서 일어날 結合姿態의 固有振動周波數는 主振動의 固有振動周波數에 比해서 複선 낮으며 發生頻度가 낮은 特殊한 振動姿態를 除外하고는 大端히 높은 周波數溫度係數를 갖고 있다.

大部分의 不要振動의 溫度係數는 $-1.4 \times 10^{-5}/\text{C}^\circ$ 乃至 $-9.1 \times 10^{-5}/\text{C}^\circ$ 間의 負值을 갖고 있으며 分布確率은 一

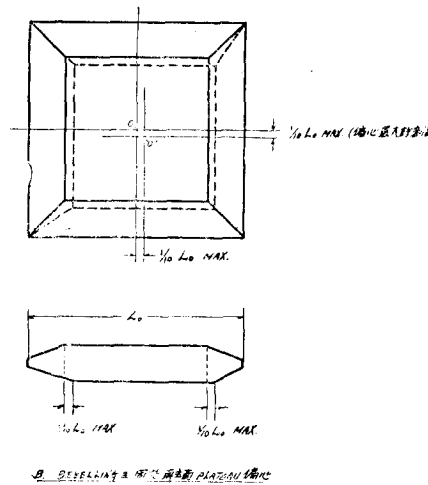
$3 \times 10^{-5}/\text{C}^\circ$ 近傍에서 最大値를 갖고 있다. 溫度句配를 불動周波數과 頂性結合에充分 할 만큼 近接되거나 一致하게 되어 結合으로 因하여 主振動勢力의 減衰와 等價抵抗의 增加를 招來한다. 이와 같은 現象을 Activity Dips 이라고呼稱한다.

Activity Dips는 周波數의 跳躍을 隨伴하며 階은 溫度範圍에 걸쳐서 測定할 때 그 크기와 銳鈍을 달리하는 Dips를 數個所 볼 수 있다. 이 Activity Dips는 두께剪斷振動인 AT板, BT板을 設計製作할 때 重要한 問題의 하나로서 胎頭되어 設計와 工程管理의 未備는 生產될 振動子個個에 對해서 Dips의 不平衡을 檢出하게 됨으로 規格에 依한 溫度試驗을 해야 된다는 繁雜한 試驗工程이 必要하게 된다.



A. BEVELLING의 時遇 片

第3-2圖 (a) 振動片의 Bevel



第3-2圖 (b) 振動片의 Bevel

또 機器의 使用者側에서 볼 때 主振動周波數가 機器를 運轉中 機器溫度의 變化, 電界勵振條件의 變化, 機械的衝擊等으로 因해서 副振動과 結合되어 不知中에 主振動周波數가 아닌 案生振動周波數를 發生하게 되다는 公算이 緣어 진다. 輪廓振動의 固有振動周波數는 振動片의 길이 및 寬이 次元에 依해서 決定된다. 主振動인 두께剪斷振動과 干涉이나 結合이 어려지지 않은 輪廓振動群의 輪廓次元은 算定하는 것을 Predimensioning (最適次元의 決定) 이라고 한다. 以下 不要振動인 輪廓振動群을 Premidimensioning의 觀點에서 檢討해 보자.

不要振動中에서 考慮해야 할 하나는 X次元을 基底로 한 伸縮振動이다. 基本周波數振動에서 振動片의 長邊次元은 半波長이 되며 振動節點은 幾何學의 中心點을 連結한 線上에 있다. 이 振動은 振動片角隅를 Clamp하고 있는 FT-243型에서는 大端히 弱하다. 그러나 空氣間隙型에서는 全히 拘束 없이 振動片이 自由로 하 振動할 수 있는 까닭에 無視하지 못한 振動姿態가 된다. 振動周波數는 AT板일 時遇

$$fN X_e = \frac{2438 \cdot N}{X(\text{mm})} \quad (3-1)$$

但 N는 高調波次數이며 整數
X는 X次元크기 (mm)

로서 算出할 수 있다.

例를 들면 第 3~3圖를 參照하여 Xe振動의 第6次高調波는 (X次元이 13.5mm)

$$f_6 X_e = \frac{2438 \cdot N}{X(\text{mm})} = \frac{2438 \cdot 6}{13.5} = \frac{14,662}{13.5} = 1085 \text{KC}$$

가 된다. 따라서 X次元이 13.5mm인 固有振動周波數 1085 KC의 AT板은 第6次高調波의 Xe과의 結合으로 因해서 室溫 또는 溫度가 變化함에 따라 等價抵抗이 大端히 높으거나 또는 振動이 大端히 不安定하다는 것이다. 即 X次元을 13.5mm로 해서는 不可能做到이다.

그리나 가장 important한 不要振動으로서 考慮되어야 할 것은 Sykes에 依하면 偶數高調波의 屈曲振動이다. 固有振動周波數는 伸縮振動처럼 振動片의 X次元에 依해서 決定되며 實驗式은 다음과 같다.

$$fN X f = \frac{1338 \cdot 4 \cdot N}{X(\text{mm})} \quad (3-2)$$

N는 偶整數

中波帶 및 中短波帶振動片에서 振動周波數(두께剪斷)와 두께次元과의 積 即 周波數定數는 一定한 數值을 維持하지 않는다. 이 定數는 AT板에서 大略 1,600KC·mm乃至 1720KC·mm 間을 變動하고 있다. 이것을 振動片兩主面의 形狀, X次元/t 比에 따라서 左右되는 것이다. 두께次元을 一定하게 維持하면서 X次元을 조금式 減少시키면 振動周波數는 漸次 上昇하면서 大部分의 景遇 等價抵抗은 及比例하여 적어진다. 이와같은 變化를 繼續하다. 어떤 X次元에서 急激히 發振이 停止된다. 그러나 X次元의 繼續한 減少는 發振의 蘇生과 더부러 振動周波數의 原狀復歸 — 通常前보다 若干 早음 — 을 이르친다. 이와같이 Saw Teeth型의 X次元 對 周波數特性을 反復한다. 이 定數變化는 屈曲振動의 干涉으로 因한 것이며 周波數定數 1,680KC는 X次元/t 即 $\phi a/t$ 比가 充分히 큰 振動片에서 屈曲振動의 干涉의 影響을 安全을 帶의 標準値이다.

實驗結果에 依하면 不要振動으로서의 面剪斷振動의 固有振動周波數는 Z' 및 X次元 兩者的 影響을 받는다. 따라서 不要振動으로서 할 때에는 兩者 共히 考慮되어야 하며 實驗式은 아래와 같다.

$$fN X_s = \frac{2542 \cdot N}{X(\text{mm})} \quad (3-3)$$

$$fN Z'_s = \frac{2540 \cdot N}{X(\text{mm})} \quad (3-4)$$

N는 整數(奇·偶數)

第3-3圖는 Dimensional Chart 또는 Mobe Chart이라고 하며前述한 實驗式에 依據 主振動을 包含한 副振動群의 共振周波數와 振動片의 輪廓크기와의 關係를 圖表化한 것이다. 이 圖表를 作成하는데 있어서 各振動間의 結合 또는 干涉으로 因한 複合振動의 影響에 對해서는 考慮하지 않았다. 이 複合振動은 理論의으로 算定하기 어렵기 때문이다. 따라서 이러한 複合振動으로 因한 誤差는 Chart를 利用 圖表計算할 때 Safe Area를 可能限 좁게 策定하여 未確定因子를 避하도록 한다. Chart는 設計資料의 하나로서 必要할 때마다 여러 特定因子를 考慮하면서 隨時作成할 때도 있고 또는 任意의 Dimensions과 周波數範圍를 選定하여

事前에 計算圖表化시키고 使用할 때도 있다.

4. 電極膜直徑, Mass Loading

500KC乃至10,000KC의 圓形, AT板基本周波數振動片에서는 Bevel를 包含한 Contour와 適切한 $\phi\alpha/t$ 比調整을 각個單獨으로 또는 併用하여 不要振動을 抑制하고 있다. 그러나 通常 10MC以上의 HF 및 UHF 帶에서는 不要振動은 主로 電極膜直徑(ϕe)과 두께(Mass loading)을 調整하는 方法을 利用한다. 이것은 振動片의 周波數決定次元인 두께가 殘餘次元인 $\phi\alpha$ 에 比해서充分히 작은 까닭에 輪廓次元에 依한 副振動群의 影響을 거의 안받기 때문이다.

1938年 R. Bechmann은 不要振動에 미칠 電極直徑의 影響과 電極面積을 減少시킴에 따라 不要振動을 過減할 수 있다는 것을 觀察하였다. 1961年에 와서 이와 같은 一連의 研究結果에서 아래와 같은 定量的인 關係를 두께剪斷振動의 Y群振動片에서 歸納하였다.

$$\phi e/t = Bn \dots \dots \dots (4-1)$$

B_n 는 不要振動을 抑制할 수 있는 電極膜直徑과振動片 두께와의 比의 最大許容値로서 AT板의 境遇
基本波振動에서 18
第3次倍調波에서 10
第5次倍調波에서 7.5

임을 提示하였다. 이러한 關係를 圖示한 것이 第4-1圖이며 높은 信賴性을 갖고 있으며 實地生產工場에서 利用되고 있다. 不要振動은 主振動에 比해서 40dB以下로 抑壓하는 것이 要求되며 圓形振動片에 圓形電極膜을 振動片中央에 接着시킨 $\phi\alpha/t$ 比가 60보다 큰 振動片은 固有振動周波數가 8~9MC以上이면 不要振動은 第1次의으로 $\phi e/t$ 比에 依해서 左右되고 實質적으로 $\phi\alpha/t$ 比에는 無關하다. 그러나 $\phi\alpha/t$ 가 60보다 작은 振動片에서는 不要振動은 實質적으로 電極膜直徑의 影響을 안 받으며前述한바 있는 振動片自體의 Shape 및 Contour에 左右되어 3-1, 3-2節에서 記述한 것은 이러한 條件下에서의 振動片이다.

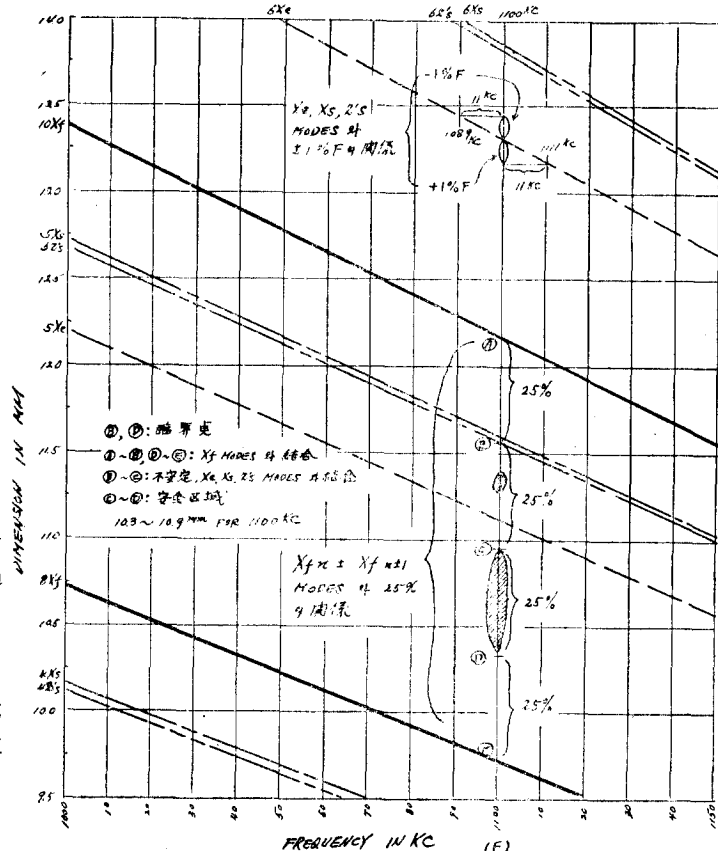
電極膜直徑과 두께(Mass Loading)는 相互逆數(共軛變數)關係가 있다. 電極膜面積이 振動片面積보다 작은 部分電極方式인 境遇 Mass Loading은 振動勢力を 電極膜部分에 集中시킨다. Mass Loading은 電極膜附着式振動片에 서 周波數調整手段으로서 使用되고 있으며 $\phi e/t$ 比는 Mass Loading을 減少시킴에 따라 增加되어야 한다. 即蒸着數는 固有振動周波數마다 어떤 適量이 있기 때문이다.

Mass Loading은 電氣抵抗值面에서 最低量이 있으며 電極

膜直徑도 不要振動의 抑制한 面에서 봄 때 最大許容値가 있는 것이다. D. R. Curran 및 D. J. Koneval은 AT板의 基本法 및 信調波에서 $\phi e/t$ 와 Mass Loading의 關係를 다음式으로서 提示하였다.

$$(\phi e/t)(Af/f) = Cn/n^{\frac{1}{2}} \dots \dots \dots (4-2)$$

$$\text{여기서 } Af/f = (f_s - f_c)/f_c \dots \dots \dots (4-2a)$$



第3-3圖 Dimensional chart

이여 Mass Loading에 起因할 相對周波數變化이다. f_e 는 電極膜部分, f_s 는 非膜部分의 滲斷周波數를 各各表示하고 있다. n 는 倍調波次數로서 奇整數이다.

Cn 의 理論値는 2.83이며 實驗値는 2.4이다. 이 算出式에 依해서 얻은 $\phi e/t$ 比가 Cn 보다 작은 때 不要振動은 없을 것이며, Cn 은 Bechmann의 標準値이라고 한다. $\phi e/t$ 로서 既히 提示한 18, 10 및 7.5을 (4-2)式에 代入하여 Mass Loading을 計算하면

$\Delta f/f$ 로서는

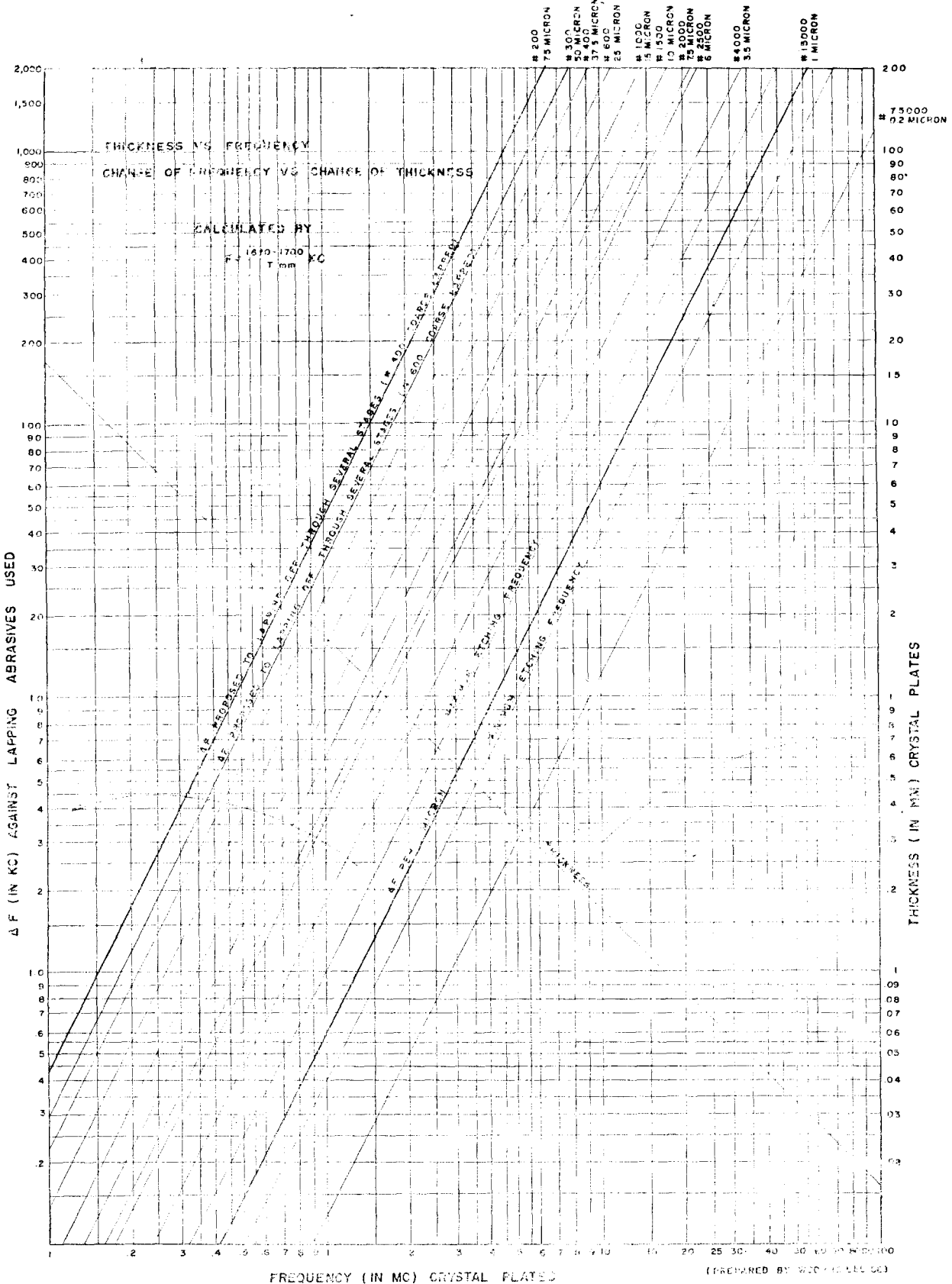
基本波에서 1.78×10^{-2}

第3次倍調波에서 6.4×10^{-3}

第5次倍調波에서 4.1×10^{-3}

各各 얻을 수 있다.

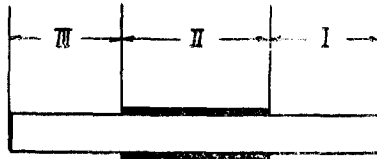
을 Energy-Trapping Concept (Trapped Energy Modes)에 依



第2圖 烹飪劑粒度與特性圖表

한 副振動의 効果의인 抑壓法이 W. Shockley, D. R. Curran, D. F. Koneval 等에 依해서 1963年以來 實驗研究되고 있다. 두께剪斷振動片에서 板面에 沿해서 傳播되는 波動은 遮斷周波數가 있으면 그 周波數以下에서는 振動勢力이 距離와 더부터 指數的으로 減衰한다. 電極膜두께를 두껍게 하여(電極下의) 固有振動周波數가 遮斷周波數以下가 되도록 調節하면 振動勢力은 電極膜部分에만 集中되고 振動片의 輪廓의 影響이나 이에 基因한 副振動은 작아진다. 第4-2圖에서 振動片主面의 一部에 電極을 蒸着시키면 그 電極重量 即 Mass Loading으로 因해서 其部分의 基本振動周波數는 電極附着以前의 振動周波數보다 낮아진다. 兩者 의 中間의 周波數에 있어서는 領域 I 및 III가 遮斷周波數以下가 되기 때문에 領域 II에서 이리난 振動勢力은 外部에 傳播되지 않고 Trapping된다. 即 領域 I 및 III에서는 振動勢力이 指數函數의으로 減衰되기 때문에 振動片兩端面의 影響은 거의 받지 않는다. 現在 이 理論과 技術은 主로 Filter用 共振子의 設計製作分野에 應用되고 있다.

不要振動의 抑壓을 爲하여 電極膜과 電界印加를 依한 保架用 Spring間을 連結한 TAB膜의 크기와 相對的配置 그리고 銀點 Spot를 主面의 適當한 場所에 添加하는 方法이 研究되고 있다.

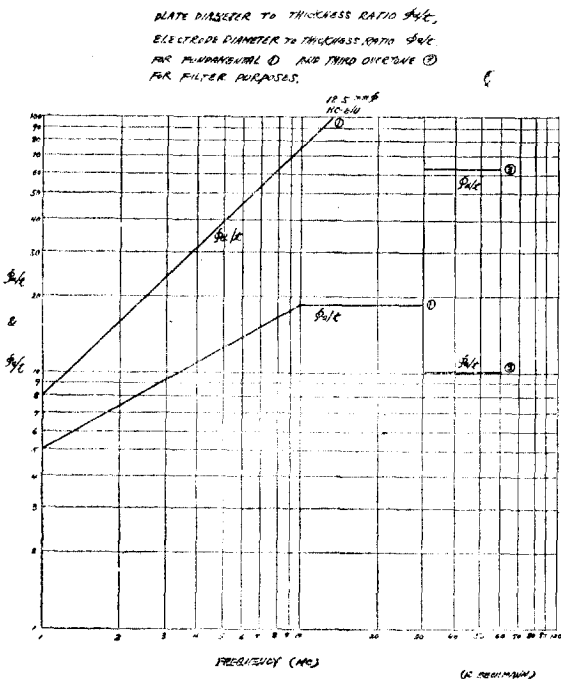


第4-2圖 電極膜과 振動遮斷

TAB膜의 相互角度는 180度가 通常이나 이 角度를 90度 또는 其他角度로 하면 不要振動의 抑制에 有効하다는 實驗報告가 있다. 銀點 Spot는 共振子의 X次元保架時에 適用되고 있으며 振動片主面 Z' 方向의 適當한 場所 直徑 0.5~1mm ϕ 의 銀點을 焼付하는 것이다.

參照文獻

- Bechmann R. 외 : Suppressing unwarbeb Modes in 5~100Mc/s Thickness Shear Quartz Plates. Frequency 18~20, Mar~Apr 1966.
- 屋上 外 : Analysis of Piezoelectric Resonators Vibrating in Trapped energy Modes. 信學誌(日本), No. 9, Vol. 49, Sep 1965
- Sykes R. A. : Modes Motion in Quartz Crystals, the effects of coupling and methods of design. Bell syst. T. J. Vol. 23, 1944.

第41圖 $\phi d/t$ 및 $\phi e/t$